

IoT システムのためのスケーラブルエッジアーキテクチャの提案と評価

濱野 真伍[†] 青山 幹雄[‡]

南山大学大学院 理工学研究科 ソフトウェア工学専攻[†] 南山大学 理工学部 ソフトウェア工学科[‡]

1. 研究の背景と課題

IoT(Internet of Things)[1]システムでは大量メッセージを処理するためにゲートウェイとして、エッジコンピューティング(以下エッジ)が導入されている。本稿ではエッジに Publish/Subscribe(以下 Pub/Sub)アーキテクチャを統合し、階層化による機能分散とスケールアウトを可能にするエッジアーキテクチャを提案する。プロトタイプを実装し、その有効性を評価する。

2. 関連研究

(1) エッジコンピューティング

エッジ[4]はクラウドをネットワークのエッジへ拡張し、データ処理を行うアーキテクチャである。

(2) Publish/Subscribe アーキテクチャ

ブローカを介して非同期でメッセージを配信するアーキテクチャである[5]。IoT 向けの実装にトピックベースでメッセージを配信する MQTT[3]がある。

(3) QESTブローカ[2]

IoT のゲートウェイに MQTT ブローカと REST サーバを統合したメッセージングブローカである。

3. 前提条件

本稿では以下の3点を前提条件とする。

- (1) クラウド, エッジ, デバイスの3層アーキテクチャ。
- (2) デバイスからクラウドへのメッセージ配信を対象。
- (3) Pub/Sub のプロトコルには MQTT を用いる。

4. アプローチ

エッジの機能にはデバイスからのメッセージを受信する受信層と、クラウドへのメッセージを配信する配信層がある。配信層ではメッセージごとに配信先を決定するため高負荷となる。本稿では以下の2点に着目しスケーラブルなエッジアーキテクチャを提案する。

- (1) 階層化: エッジを受信層と配信層の2層に機能分散する。
- (2) エッジ内スケールアウト: 配信層をスケールアウトし、クラウドへのメッセージ配信処理を分散する。

5. 提案アーキテクチャ

5.1. アーキテクチャモデル

図1に提案アーキテクチャの構造を示す。提案アーキテクチャではエッジにおけるメッセージ配信の完全性を保証するために、メッセージ配信に非同期配信と同期配信を併用する。エッジ内スケールアウトに

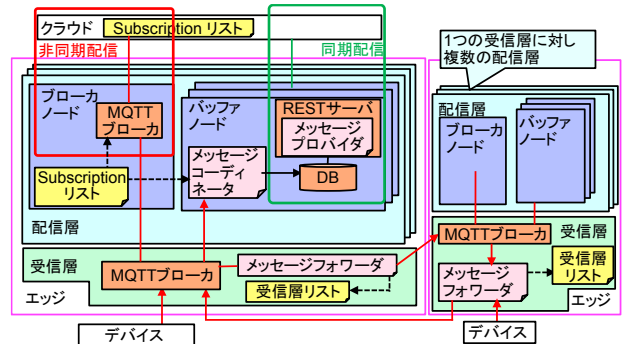


図1 アーキテクチャの構造

よってエッジは1つの受信層と複数の配信層からなる。階層化により機能分散した受信層, 配信層の機能を以下に示す。

- (1) 受信層: 次の3つの機能を配置する。1)デバイスからのメッセージ受信。2)他のエッジにメッセージをフィルタリングして送信。3)配信層へメッセージをフィルタリングして配信。
- (2) 配信層: 1つのブローカノードと複数のバッファノードからなる。各ノードの詳細を以下に示す。1)ブローカノード: クラウドへメッセージをフィルタリングし非同期で配信する。2)バッファノード: メッセージをドキュメント指向データベースへ一定期間保存しクラウドへ同期で配信する。

配信層ではブローカノードとバッファノードが独立して受信層に対するSubscriberとなることで、同期配信と非同期配信を分離し、非同期配信におけるスケーラビリティを向上する。

5.2. メッセージ配信モデル

図2にメッセージ配信モデルを示す。図2ではクラウドはエッジAからメッセージを受信する場合を示す。

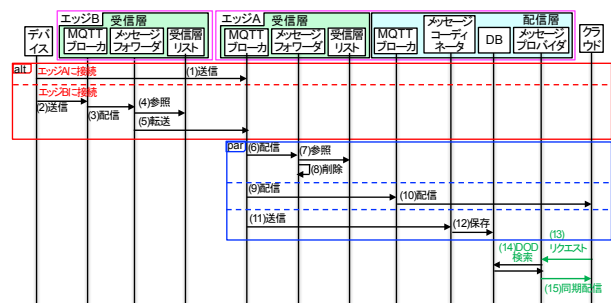


図2 メッセージ配信モデル

メッセージフォワーダは同じ受信層のMQTTブローカが受信するメッセージを全て受信し、受信層リストを参照して他のエッジに転送、もしくは転送先が存

A Scalable Edge Architecture for IoT Systems and its Evaluation
[†] Shingo Hamano, Graduate School of Science and Engineering, Nanzan University.
[‡] Mikio Aoyama, Department of Software Engineering, Nanzan University.

在しない場合は削除する. これにより配信層はデバイスがどのエッジにメッセージを送信する場合でも, クラウドに配信するメッセージを1つの受信層から受信できる. さらに受信層でメッセージの一部をフィルタリングし配信層に配信することで, 配信層でのフィルタリング処理を削減することができる.

6. プロトタイプの実装

提案アーキテクチャのプロトタイプを表1に示す環境上で実装した. 主たるコンポーネントは図1に示すメッセージのフォワーダとコーディネータである. エッジのマシンには Raspberry Pi model B+を用いた.

表1 エッジのソフトウェアコンポーネント

コンポーネント名	ソフトウェア/バージョン
MQTT プロトコル	3.1.1
MQTT クライアント	Apache Paho-MQTT / 1.3.1
MQTT ブローカ	Apache Mosquitto / 1.4.14
DBMS(ドキュメント指向 DB)	MongoDB / 2.4.14
受信層リスト管理システム(KVS)	Redis / 3.2.6
アプリケーション実装言語	Python / 2.7.13

7. 例題への適用

提案アーキテクチャのスケラビリティを確認するために図3に示す3つのシナリオをそれぞれ3回実行した. デバイスは2分間に20ミリ秒間隔で計6,000個のメッセージをエッジに送信する. デバイスのメッセージ送信先は乱数を用いて決定する.

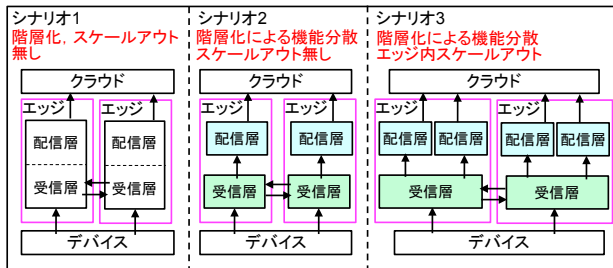


図3 実行シナリオの概要

8. 評価

(1) CPU 使用率による評価

図4に各シナリオの配信層におけるOSを除くCPU使用率を示す. 図4内の吹出しは1件目のメッセージを受信を起点とし, 10秒後から110秒後までのシナリオ毎のCPU使用率平均値を示す. シナリオ1と2のCPU使用率の差から, 階層化によって配信層から他のエッジへのメッセージ転送処理を分離したことで, メッセージ配信処理の負荷の軽減を確認した. さらに, シナリオ3ではシナリオ2と比較し, CPU使用

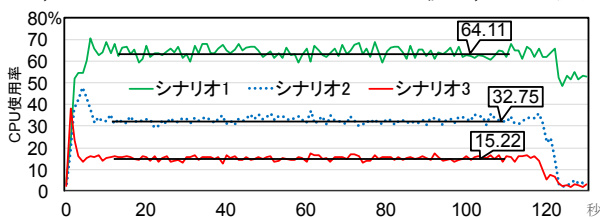


図4 CPU 使用率

率が約2分の1になっている. これは, エッジ間スケラアウトにより各配信層が処理するメッセージの数が約2分の1になったためである.

(2) ロードアベレージによる評価

図5に各シナリオの配信層における式1で定義したロードアベレージを示す. 図5で実線は全配信層の平均値を示し, 破線は最高値を示す.

$$\left(\sum_{\text{過去1分間分}} \frac{\text{実行中のプロセス数} + \text{待ちプロセス数}}{\text{CPUの最大処理プロセス数}} \right) / \text{1分間の計測回数} \quad (1)$$

シナリオ1では時間経過と共に増加しているが, シナリオ2, 3では時間経過による増大しないことから, 階層化によってスケラビリティの実現が可能であることを確認した. また, シナリオ3では最高値が1.0を超えることはない. これは, 配信層で処理するメッセージの負荷分散により, 各配信層でメッセージ配信と保存で実行するプロセス数が削減できたためである.

9. 考察(先行研究との比較)

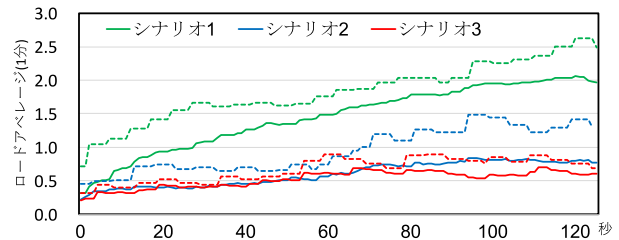


図5 ロードアベレージ

提案アーキテクチャと先行研究の QEST ブローカ [2]の特性を比較した結果を表2に示す. 提案アーキテクチャでは, 処理メッセージ数の増大に応じてエッジでスケラアウトできるので高いスケラビリティを実現していると言える.

表2 関連研究との比較

視点	提案アーキテクチャ	QESTブローカ
拡張性	++	+
配信処理の分散性	++	-
メッセージ数の耐久性	+	-

10. まとめ

階層化とエッジ内スケラアウトによるスケラブルなエッジアーキテクチャを提案した. プロトタイプを実装し CPU 使用率とロードアベレージの測定によって提案アーキテクチャの有効性を示した.

参考文献

- [1] R. Buyya, et al. (eds.), Internet of Things, Morgan Kaufmann, 2016.
- [2] M. Collina, et al., Introducing the QEST Broker: Scaling the IoT by Bridging MQTT and REST, Proc. of PIMRC '12, IEEE, Sep. 2012, pp. 36-41.
- [3] ISO/IEC 20922:2016, Information Technology - Message Queuing Telemetry Transport (MQTT) V. 3.1.1, 2016.
- [4] W. Shi, et al., The Promise of Edge Computing, IEEE Computer, Vol. 49, No. 5, May 2016, pp. 78-81.
- [5] S. Tarkoma, Publish/Subscribe Systems, Wiley, 2012.